рое повышение магнезиальности ортопироксена симплектитов от центра более крупных зерен к краю. Также обращает на себя внимание, что в симплектитах встречаются наиболее магнезиальные ортопироксены ( $X_{\rm Mg}$  до 0,83-0,84). Все это позволяет предполагать, что при формировании симплектитов остаточные флюиды были обогащены магнием, который участвовал в реакциях разложения граната. Тогда реакция будет выглядеть следующим образом:  $0.6 {\rm Grt}_{67} + 2.19 {\rm Qtz} + 1.75 [{\rm Mg}^{2+}]^{\phi\pi} + 1.68 {\rm H}_2 {\rm O} \rightarrow 1.96 {\rm Opx}_{83} + 0.29 {\rm Sil} + 3.35 [{\rm H}^+]^{\phi\pi}$ 

Согласно этой реакции, разложение граната на контакте с кварцем на сростки ортопироксен+силлиманит происходит при поступлении дополнительного количества магния из флюида в зону реакции и при повышении щелочности среды (реакция смещается вправо при повышении щелочности). Само же повышение щелочности остаточного флюида может быть связано со снижением давления (Bushmin S.A., 2000). В таких реакциях иногда участвует магнезиальный биотит. Его появление в правой части реакция связано с поступлением из флюида в зону реакции не только магния, но и калия.

Как было отмечено выше, среди симплектитовых структур встречаются случаи, когда при замещении граната вместе с ортопироксеном и силлиманитом в сростках возникают новый гранат и сапфирин. Такая реакция, по-видимому, может протекать только в условиях ограниченного доступа кремнезема в зону замещения, так как, судя по наблюдениям в шлифе, в составе таких симплектитов отсутствует свободный кварц. В нашем случае породы в целом обогащены кварцем, и поэтому такие случаи единичны. Но такая реакция может быть интересна для нас тем, что позволяет оценить внешние условия, которые вызвали ее протекание: Grt<sub>67</sub> → Grt + Opx + Sil + Spr. Расчет этой реакции в количественных коородинатах P-T обнаруживает сильную зависимость от давления и показывает, что появление сростков Grt+Opx+Sil+Spr возможно при снижении давления от 11 кбар при ~900°С (Бушмин и др., 2006) до 9-7 кбар. Так как ортопироксен и сапфирин являются более магнезиальными минералами, чем исходный гранат, то нужно допустить использование дополнительного количества магния из остаточного раствора в зоне кристаллизации при повышении щелочности среды. Этот вывод согласуется с выводом о снижении давления при анализе вышерассмотренных ионных реакций симплектитообразования.

Таким образом, в образовании ортопироксен-силлиманитовых пород участвовали флюиды повышенной кислотности, насыщенные кремнеземом. Они вызывали растворение и переотложение минералов и минеральных парагенезисов. Второстепенное значение имело позднее образование ортопироксен-силлиманитовых симплектитов при разложении ранних матричных гранатов на фоне снижения Р (и возможно Т) при участии небольшого объема малоподвижного остаточного флюида повышенной магнезиальности и щелочности.

Работа выполнена при финансовой поддержке гранта научной школы НШ- 4732.2006.5.

## ЛИТЕРАТУРА

Балаганский В.В., Глебовицкий В.А. Лапландский гранулитовый пояс и пояс Танаэлв / В кн.: Ранний докембрий Балтийского щита. СПб.: Наука, 2005. С.127-175.

Беляев О.А. Кислотное выщелачивание и сопряженный Fe-Mg метасоматоз в условиях гранулитовой фации / В кн.: Метасоматоз и метасоматиты в метаморфических комплексах докембрия. Апатиты: Изд.Кол.ФАН СССР, 1981. С. 10-19.

Бушмин С.А., Доливо-Добровольский Д.В, Лебедева Ю.М. Инфильтрационный метасоматоз в условиях гранулитовой фации высоких давлений (на примере ортопироксен-силлиманитовых пород сдвиговых зон Лапландского гранулитового пояса). // ДАН. 2006.

Глебовицкий В.А., Алексеев Н.Л., Доливо-Добровольский Д.В. Реакционные структуры и Р-Т режимы охлаждения глубинных образований Кандалакшско-Колвицкой структурно-формационной зоны, Кольский полуостров // Зап.ВМО. 1997. №2. С.1-22.

Козлова Н.Е., Балаганский В.В., Богданова М.Н., Реженова С.А. Структурно-петрологическое изучение ортопироксен-силлиманитовой ассоциации лапландских гранулитов // Изв. АН СССР. 1991. Сер. геол. №4. С.66-76.

Крылова М.Д., Прияткина Л.А. Гиперстен-силлиманитовая ассоциация в гранулитовом комплексе Порьей Губы (югозапад Кольского полуострова) // ДАН СССР. 1976. Т.226. №3. С.661-664.

Подлесский К.К. Гиперстен в ассоциации с силлиманитом и кварцем как индикатор условий метаморфизма // ДАН. 2003. Т. 389. №1. С. 1-4.

Bushmin S.A. Evolutional model of metasomatism in metamorphic cycle. In: Models and Modeling of geological processes and objects. Ed. V.Glebovitsky. Teophrastus. St.Petersburg. 2000. P.137-140.

## МИНЕРАЛОГО-ГЕОХИМИЧЕСКИЕ ОСОБЕННОСТИ ПЕРИДОТИТ-ПИРОКСЕНИТ-ГАББРОНОРИТОВОГО УЛИТАОЗЕРСКОГО МАССИВА

Липенков  $\Gamma.B^1$ ., Сергеев A.  $B^1$ , Васильева B.A.<sup>2</sup>, Кузнецов B. A.<sup>2</sup>  $^{I}$  СПбГУ, gleb lipenkov@inbox.ru

<sup>2</sup>ФГУП «ВСЕГЕИ им Карпинского», Санкт-Петербург.

Улитаозёрский массив относится к нижнепротерозойской перидотит-пироксенит-габброноритовой формации. На Балтийском щите интрузии данной формации проявлены достаточно широко и с ними связан ряд месторождений: платиноидно-медноникелевых руд (Мончеплутон), малосульфидных платинометальных руд

(г. Генеральская, Фёдорово-Панские тундры) и хромитов (Умбареченское и др.) (Юдин Б.А, 1980). Улитаозерский дифференцированный комплекс ранее не изучался достаточно детально на минералого-геохимическом уровне. Единичные геохимические данные свидетельствовали о его возможной перспективности на медно-никелевое и платинометальное оруденение (Чалых Е.Д., 1960). Задачи проведенного исследования включали в себя полевые работы по уточнению геологического строения массива, выявления его геохимических особенностей, а так же состава породообразующих минералов, что позволило определить перспективность его дальнейшего изучения и освоения.

Улитаозерский массив относится к группе расслоенных интрузивов формации перидотитов-пироксенитов-габброноритов северо-западного обрамления Печенгско-Имандра-Варзугской структурной зоны (Борисова В.В, 2004). Он расположен на северо-западе Мурманской области на южном берегу оз. Улита и имеет в плане неправильную, вытянутую в северо-западном направлении форму (рис. 1). Его длина составляет 4 км, при ширине от 0,5 до 1,7 км. Имея севе-

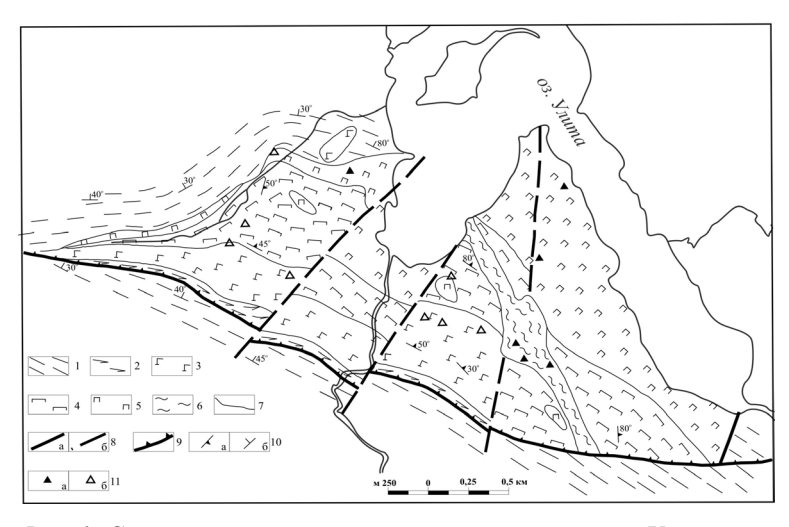


Рис. 1. Схематическая прогнозно-геологическая карта Улитаозёрского массива. Масштаб 1:25 000

1-амфибол-биотитовые и биотитовые гнейсы беломорского метаморфического комплекса; 2-метагаббро (амфиболитизированные рассланцованные габброиды); 3-габбронориты и нориты; 4-пироксениты (вебстериты, ортопироксениты и плагиоортопироксениты); 5-перидотиты (гарцбургиты) и оливиниты; 6-амфибол-гранат-плагиоклазовые породы; 7-предполагаемые геологические границы пород; 8-9-тектонические нарушения: 8-разломы а-установленные, б-предполагаемые; 9-надвиги; 10-элементы залегания: а-трахитоидность, б- гнейсовидность;11-пункты сульфидной минерализации: а- известные ранее, б-выявленные в процессе работ на объекте.

ро-западное простирание, массив залегает согласно с гнейсовидностью и сланцеватостью вмещающих пород. В геологическом строении площади принимают участие образования беломорской и кольской серий, представленные перислаиванием амфиболитов, амфиболовых плагиосланцев, плагиогнейсов, амфибол-биотитовыми и биотитовыми гнейсами.

В строении Улитаозерского массива выделяются следующие основные типы пород: оливиниты, перидотиты, пироксениты, габбронориты, метагабброиды (образуют узкую полосу, протянувшуюся вдоль контакта с субширотным разломом, отделяющим Улитаозерский массив от вмещающих гранито-гнейсов). В пределах массива выделяются также амфибол-гранат-плагиоклазсодержащие метасоматиты — наиболее измененные породы массива, приуроченные к крупному разлому, протягивающемуся в восточной части массива с севера на юг. Наблюдаемый в этой интрузии характер взаимоотношения пород позволяет отнести ее к дифференцированным комплексам ультраосновного — основного состава.

Геохимические исследования пород массива включали в себя: 1. Силикатный анализ – (30 проб) на породообразующие элементы (РСЛ ФГУП ВСЕГЕИ, спектрометр ARL-9800) 2. Полуколичественный спектральный анализ – (83 пробы) на редкие и рассеянные элементы (РСЛ ФГУП ВСЕГЕИ спектрометр СТЭ-1). 3. Содержания Pt, Pd определялись в 102 пробах пород массива атомно-абсорционным анализом. (РСЛ ФГУП ВСЕГЕИ)

Установленная последовательность кристаллизации пород массива позволила проследить основные тенденции геохимической эволюции массива (Рис. 2). Сходное поведение  $SiO_2$ ,  $Al_2O_3$ ,  $Na_2O$ , CaO в ходе формирования массива вероятнее всего связано с процессами кристаллизации плагиоклаза. Близкий характер поведения характерен и для калия Антагонистом к этой группе элементов выступает MgO, что

связано с уменьшением доли магнийсодержащих минералов. Накопление  ${\rm TiO_2}$  и  ${\rm P_2O_5}$  происходило в основном к моменту образования метагаббро. Статистический анализ показывает, что эти элементы вместе с V образуют тесную корреляционную группу, характерную для апатит-титаномагнетитовых ассоциаций.

На большинстве графиков достаточно отчетливо прослеживаются две ветви: первая – от оливинитов до габбро - отражает основные закономерности магматического процесса, вторая – от габбро до амфиболитов связано с выносом рассматриваемых элементов в ходе наложенных метасоматических процессов. Геолого-петрографический анализ показывает, что основными постмагматическими проявлениями в породах массива являются образования соссюритовых и амфибол-гранатовых минеральных ассоциаций. Необходимо заметить, что измененные породы пространственно связаны с зонами разломов и тектонических нарушений.

Графики распределения некоторых редких и рассеянных элементов, сгруппированные по породным выборкам, представлены на рис. 3.

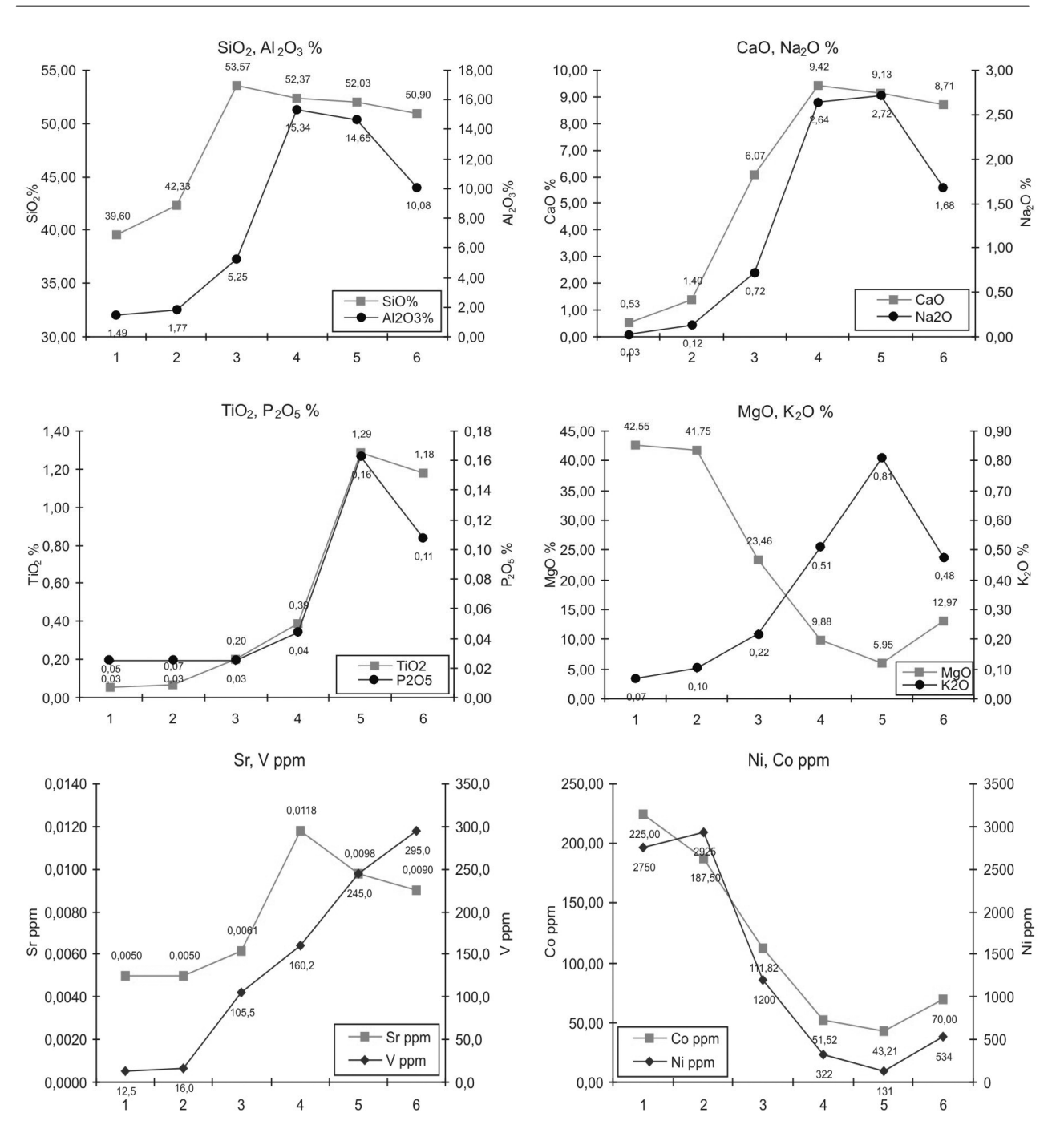


Рис. 2. Графики распределения содержаний редких элементов в различных породах Улитаозерского массива. Цифрами обозначены: 1.-оливиниты, 2.-перидотиты, 3.-пироксениты, 4.-габброиды, 5.-метагабброиды, 6- амфибол-гранат-плагиоклазовые метасоматиты восточной части массива

Распределение Sr схоже с распределением  $SiO_2$ ,  $Al_2O_3$ ,  $Na_2O$ , CaO, что может быть связано с изоморфным замещением кальция стронцием в структуре плагиоклазов. Накопление V происходило совместно с  $TiO_2$  и  $P_2O_5$ , формируя титано-магнетит-апатитовую минерализацию, достигая максимума в метагаббро.

Для Ni и Co характерно отчетливое уменьшение концентраций от ранних фаз к более поздним, что определяется характерными для них схемами изоморфных замещений в оливине и пироксене.

Поведение Sc определяется накоплением его в амфиболах, либо в составе титано-магнетита.

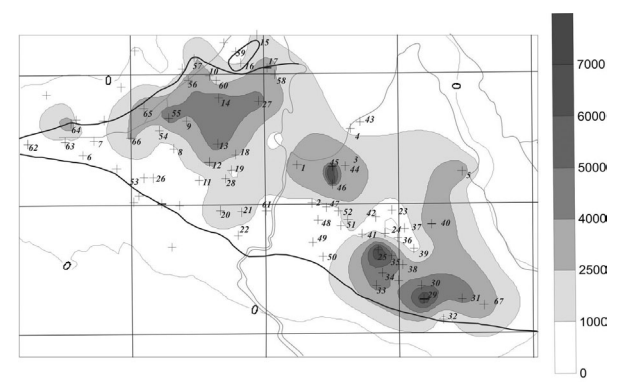
Анализ корреляционных связей подтвердил, что поведение многих рассеянных элементов определяется схемами изоморфных замещений в породообразующих минералах: MgO образует тесные корреляционные связи с Co и Ni, что скорее всего указывает на вхождение этих элементов в структуру оливина и магнезиального пироксена, группа элементов,  $Al_2O_3$ ,  $Na_2O$ , CaO тесно коррелирует с такими элементами как Sr, Ga, что говорит о вхождении их в состав плагиоклазов.  $TiO_2$ ,  $P2O_3$ 

как с типичными фемафильными элементами V, Mn, так и с литофильными K, Ba, Zr, Nb, , Mo, Sn, что позволят сделать предположение о метасоматическом характере титано-магнетит-апатитовой ассоциации.

Анализ результатов распределения платины и палладия в породах комплекса показал низкие уровни содержания этих элементов в пределах массива. Всего лишь в трех пробах, принадлежащих габбронориту, пироксениту и амфибол-гранат плагиоклазовой породе, был превышен порог чувствительности метода 0,03 г/т.

В ходе статистической обработки данных полуколичественного спектрального анализа для выявления расположения в теле исследуемого интрузива геохимических аномалий использовалась методика С.В.Григоряна (1987) для первичных ореолов. В качестве основных показателей геохимического поля использовались аддитивные ( $K_A$ ) и мультипликативные ( $K_M$ ) коэффициенты.

Использование аддитивного коэффициента  $(TiO_2+V+P_2O_5)$  позволило выявить в пределах массива геохимические аномалии, которые связаны с метасоматическими наложенными процессами (рис. 5). Из рисунка видно, что наиболее контрастные аномалии  $TiO_2+V+P_2O_5$  приурочены к тектонической зоне северо-западного простирания, что подтверждает ранее сделанные выводы.



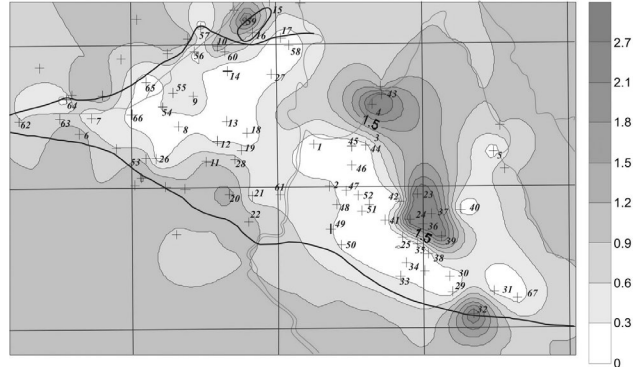


Рис. 4. Распределение значений аддитивного коэффициента Ni+Co+Cr в породах Улитаозерского массива (содержания даны в ppm).

Puc.~5. Распределение значений аддитивного коэффициента  $TiO_2+V+P_2O_5$  в породах Улитаозерского массива (содержания даны в %)

Применение: K<sub>A</sub>=Ni+Co+Cr позволило выделить в пределах массива три контрастные геохимические аномалии (рис 4). Первая аномалия располагается на северо-западе массива в пироксенитах преимущественно вблизи их контакта с габбро-норитами. Вторая аномалия отмечается в центральной части массива и связана с шлироподобным телом перидотитов, расположенным в зоне пироксенитов. Третья аномалия приурочена к пироксенитам юго-западной части интрузива, где ранее в шурфах была выявлена бедная сульфидная минерализация.

По результатам микроренгеноспектрального и спектрального количественного анализов породообразующих минералов можно сделать следующие выводы: 1. Оливины в массиве представлены существенно магнезиальными разновидностями (MgO -48,98%), с высокими содержаниями хрома. 2. Средний состав ромбических и моноклинных пироксенов Улитаозерского массива, отвечает следующим кристаллохимическим формулам:  $[Mg_{1,657}Al_{0.018}Cr_{0.018}Fe^{+3}_{0.042}Ca_{0.066}Fe^{+2}_{0.199}](Si_{1.922}Al_{0.078}O_6)$ и  $[Ca_{0.722}Na_{0.051}Fe_{0.136}Al_{0.06}Mg_{1.01}Cr_{0.029}](Si_{1.862}Al_{0.138}O_6)$  соответственно.

3. Рассматривая изменение химического состава породообразующих минералов вверх по разрезу массива, отмечается закономерное изменение состава породообразующих минералов: уменьшение магнезиальности минералов, на фоне роста их железистости, а так же уменьшение содержаний хрома и никеля.

В результате проделанной работы можно сделать следующие выводы:

- 1. Установлено, что на современном эрозионном уровне Улитаозерский массив представляет собой перевернутое линзообразное тело с эродированными породами начальных этапов дифференциации.
- 2. Были выявлены две основные эволюционные ветви формирования пород: к первой относится ряд перидотиты пироксениты габбро-нориты, формирование которых связано с эволюцией магматического расплава, а вторая ветвь, которой принадлежат метагаббро и амфибол-гранат-плагиоклазовые породы, сформировавшиеся в результате наложенных метасоматических процессов.
- 4. Высокие содержания никеля и хрома в породах массива, и в породообразующих силикатных минералах, а также отсутствие крупных проявлений сульфидной минерализации, возможно, свидетельствует об обедненности исходного расплава серой, из чего можно сделать вывод о низкой вероятности обнаружения в массиве крупных медно-никелевых сульфидных руд.
- 5. Анализ результатов распределения платиноидов не показал процессов концентрирования этих элементов не на магматической не на постмагматической стадии формирования этого массива.

## ЛИТЕРАТУРА

Борисова В.В. Комплексы малых интрузий базит-ультрабазитов. В кн.: Расслоенные массивы Карело-Кольского региона. Ч. 1. Апатиты. 2004, с. 117-132.

Юдин Б.А. Магматизм и металлогения основных и ультраосновных комплексов протерозоя Главного хребта (Кольский полуостров). Апатиты. 1980.

Чалых Е.Д., Берман И.И. Отчет Улитареченской партии о результатах ГСР м-ба 1:50 000, проведенных в 1959 г. в районе оз. Улита – ср. течения р. Туломы (Кольский район, мурманская обл.). ТФ Мурманск, 1960.

## ГЕОХИМИЯ КАРБОНАТИТОВ БАЛТИЙСКОГО И УКРАИНСКОГО ЩИТОВ

Матвийчук М.В.

Институт геохимии, минералогии и рудообразования НАН Украины, г. Киев

Балтийский и Украинский щиты - во многом сходные геологические структуры, имеющие близкий набор магматических и метаморфических пород, сравнение которых позволяет выстраивать петрологически и геохимически полные эволюционные ряды.

Так, на Украинском щите доказательно установлен только один возрастной (протерозойский) этап проявления карбонатитового магматизма, причем только абиссального уровня, с довольно бедным набором фациальных типов карбонатитов. Но большое разнообразие, как по возрасту, так и по петрологическим типам щелочных пород, с которыми, в принципе, могут быть связаны карбонатиты, позволяет надеяться на обнаружение их в будущем. Напротив, на Балтийском щите, как щелочные породы, так и карбонатиты представлены самыми разнообразными типами, сформировавшимися как в абиссальных, так и в приповерхностных условиях на протяжении от протерозоя до мезозоя.

Сравнение карбонатитов двух щитов, помимо теоретического, имеет и чисто прикладное значение. На наш взгляд будет полезным сравнить особенности уже разрабатываемых карбонатитовых месторождений Балтийского щита (например, Ковдора, Хибин) с перспективными для разработки на Украине (Черниговский массив и др.).

**Балтийский щит.** Тикшеозерско-Елетьозерский комплекс (Северная Карелия) с проявленным магматизмом ультрамафит-щелочно-сиенитового состава изучен довольно основательно. Существует мнение, что вышеупомянутый комплекс формировался в сфекофенскую эпоху активизации 1,8-1,9 млрд. лет (Геология Карелии, 1987). Наиболее вероятная картина формирования сложного по строению многофазного комплекса связана с растянутой во времени магматической деятельностью в промежутке от 2,450 до 1,8 млрд. лет. Наиболее крупными по размерам среди данного комплекса являются Елетьозерский и Тикшеозерский массивы.

В карбонатитах Тикшеозерокого массива наиболее распространенным карбонатом является кальцит. Среди других выделены доломит, анкерит, магнезит, брейнерит, арагонит и акцессорный анкилит (Сафронова Г.П., 1982). Изотопный состав углерода и кислорода определялся в монофракциях карбонатов и в валовых пробах пород, в основном, отобранных по скважинам, пробуренным по карбонатитам и, в меньшей степени, из габброидных пород, испытавших карбонатизацию.

Изотопный состав углерода в кальцитах, отобранных по Тикшеозерскому массиву, свидетельствует об эндогенном источнике вещества и о карбонатитовой природе карбонатных пород (Сафронова Г.П., 1982). Авторы указанной работы связывают низкие значения  $\delta^{18}$ О с температурным режимом карбонатитообразования, однако, на наш взгляд, такие аномальные цифры невозможно объяснить, не привлекая механизма обмена с изотопно-легкими водами. Если учесть, что одними из самых распространённых пород на Тикшеозерском массиве являются серпентинизированные оливиниты, то существенная роль воды в образовании карбонатных низкотемпературных образований, в том числе карбонатных прожилков, становится очевидной.

Наши данные (таблица) несколько отличаются от вышеприведенных в сторону более высоких значений  $\delta^{18}$ О как для собственно карбонатитов, так и для карбонатных прожилков в пироксенитах и габброидах. Диапазоны значений карбонатитов  $\delta^{18}$ О и  $\delta^{13}$ С в них (-4,0 - -6,3% и 10-12,6%, соответственно) довольно узкие и не выходят за пределы, обычно приводимые для карбонатитов. Требует объяснения несколько "утяжеленные" значения  $\delta^{18}$ О в некоторых карбонатах Тикшеозерского массива. По имеющемуся у нас материалу магнетитсодержащие карбонатиты Ковдорского, Вуориярвинского и др. массивов также характеризуются утяжеленным изотопно-кислородным составом.

<u>Ковдорский массив ультраосновных щелочных пород и карбонатитов</u> – один из наиболее полно изученных благодаря тому, что он разрабатывается как комплексное месторождение апатитового, магнетитового, редкометалльного и др. видов сырья.

Довольно подробно был изучен и изотопный состав карбонатитов (Кулешов В.Н., 1986). При этом все исследовавшие изотопный состав углерода в этих карбонатитах отмечали некоторое обогащение их изотопом